

SLN16

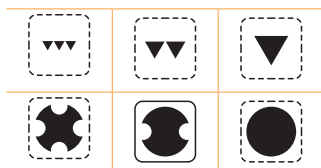
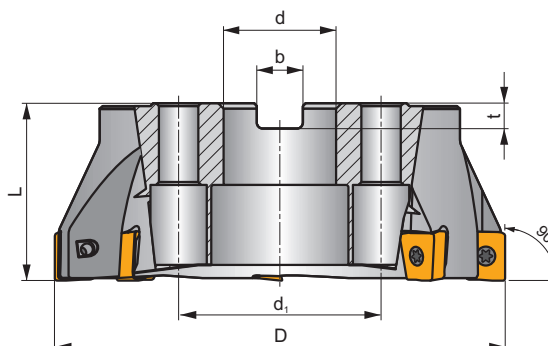
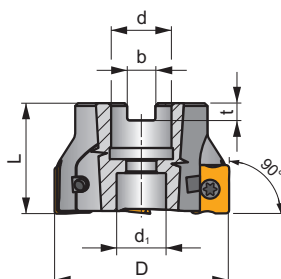
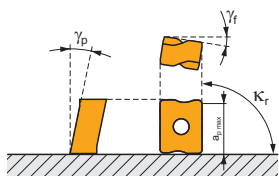
P K N H

S

ECON LN



$\kappa_r$	90°
$a_{pmax}$	13,0 mm



ISO	D	L	d	d <sub>1</sub>	b	t	$\gamma_f^\circ$	$\gamma_p^\circ$					kg			
63A04R-S90LN16-C	63	40	22	18	10,4	6,3	-10,5	-6	4	✓	7600	✓	0,46	GI207	SQ353	-
63A05R-S90LN16-C	63	40	22	18	10,4	6,3	-10,5	-6	5	✓	7600	✓	0,46	GI207	SQ353	-
80A04R-S90LN16-C	80	50	27	38	12,4	7,0	-10,5	-6	4	✓	6800	✓	0,98	GI207	SQ351	AC001
80A06R-S90LN16-C	80	50	27	38	12,4	7,0	-10,5	-6	6	✓	6800	✓	0,89	GI207	SQ351	AC001
100A05R-S90LN16-C	100	50	32	45	14,4	8,0	-10,5	-6	5	✓	6100	✓	0,98	GI207	SQ351	AC002
100A07R-S90LN16-C	100	50	32	45	14,4	8,0	-10,5	-6	7	✓	6100	✓	1,84	GI207	SQ351	AC002
125A06R-S90LN16-C	125	63	40	56	16,4	9,0	-10,5	-6	6	✓	5400	✓	3,44	GI207	SQ351	AC003
125A08R-S90LN16-C	125	63	40	56	16,4	9,0	-10,5	-6	8	✓	5400	✓	3,33	GI207	SQ351	AC003
140A06R-S90LN16-C	140	63	40	56	16,4	9,0	-10,5	-6	6	✓	5100	✓	3,91	GI207	SQ351	AC003
160C08R-S90LN16-C	160	63	40	66,7	16,4	9,0	-10,5	-6	8	✓	4700	✓	6,19	GI207	SQ356	-
175C08R-S90LN16-C	175	63	40	66,7	16,4	9,0	-10,5	-6	8	✓	4500	✓	7,11	GI207	SQ356	-

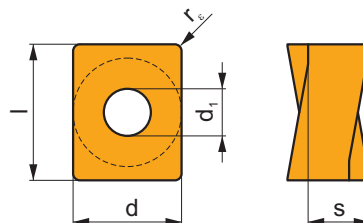
GI207	LNMU 1607..	LNGU 1607..

SQ351	US 45012-T20P	5,0	M 5	12	SDR T20P-T	-	-	-	-
SQ353	US 45012-T20P	5,0	M 5	12	SDR T20P-T	HS 1030C	-	-	-
SQ356	US 45012-T20P	5,0	M 5	12	SDR T20P-T	HS 1240C	CAC 160C	HSD 0825C	HXX 5

AC001	KS 1230	K.FMH27
AC002	KS 1635	K.FMH32
AC003	KS 2040	K.FMH40

# LNMU 16

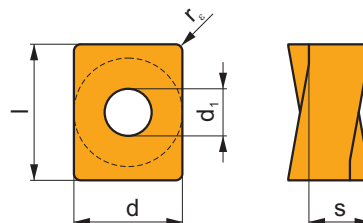
	d	d <sub>1</sub>	l	s
1607	13,200	5,70	16,60	7,50



i	ISO	Material	P	M	K	N	S	H	?	Drop	r <sub>ε</sub>	f <sub>min</sub>	f <sub>max</sub>	a <sub>p min</sub>	a <sub>p max</sub>	
																1
	LNMU 160708ER-F	M8330	■		▣				☉	-	0,8	0,08	0,20	0,3	13,0	
		M8340	■		▣				☉	+/-	0,8	0,08	0,20	0,3	13,0	
		8215	■		▣				☉	-	0,8	0,08	0,20	0,3	13,0	
	LNMU 160708SR-M	M9325	■		▣				☉	---	0,8	0,10	0,18	0,3	13,0	
		M6330	▣						☒	-	0,8	0,10	0,30	0,3	13,0	
		M8330	■		▣			□	☒	-	0,8	0,10	0,30	0,3	13,0	
		M8340	■		▣				☒	+/-	0,8	0,10	0,30	0,3	13,0	
		8215	■		▣			□	☉	-	0,8	0,10	0,30	0,3	13,0	
	LNMU 160720SR-M	M8330	■		▣			□	☒	-	2,0	0,10	0,30	0,3	13,0	
		M8340	■		▣				☒	+/-	2,0	0,10	0,30	0,3	13,0	
		8230	■		▣			□	☒	-	2,0	0,10	0,30	0,3	13,0	
	LNMU 160730SR-M	M8330	■		▣			□	☒	-	3,0	0,10	0,30	0,3	13,0	
		M8340	■		▣				☒	+/-	3,0	0,10	0,30	0,3	13,0	
	LNMU 160740SR-M	M8330	■		▣			□	☒	-	4,0	0,10	0,30	0,3	13,0	
		M8340	■		▣				☒	+/-	4,0	0,10	0,30	0,3	13,0	
	LNMU 160708SR-R	M5315	▣		▣			▣	☉	---	0,8	0,15	0,36	1,0	13,0	
		M9315	■		▣			▣	☉	---	0,8	0,15	0,36	1,0	13,0	
		M9325	■		▣				☒	---	0,8	0,15	0,36	1,0	13,0	
		M8310	■		▣			▣	☒	-	0,8	0,15	0,40	1,0	13,0	
		M8330	■		▣			▣	☒	-	0,8	0,15	0,40	1,0	13,0	
		M8340	■		▣				☒	+/-	0,8	0,15	0,40	1,0	13,0	
		LNMU 160716SR-R	M9315	■		▣			▣	☒	---	1,6	0,15	0,36	1,0	13,0
			M9325	■		▣				☒	---	1,6	0,15	0,36	1,0	13,0
LNMU 160716SR-R	M8310	■		▣			▣	☒	-	1,6	0,15	0,40	1,0	13,0		
	M8330	■		▣			▣	☒	-	1,6	0,15	0,40	1,0	13,0		
LNMU 160716SR-R	M8340	■		▣				☒	+/-	1,6	0,15	0,40	1,0	13,0		

## LNGU 16

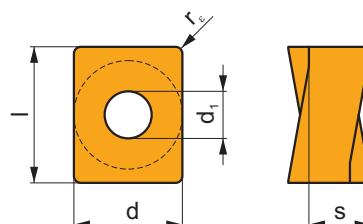
	d	d <sub>1</sub>	l	s
1607	13,200	5,70	16,60	7,50



		ISO		P	M	K	N	S	H			r <sub>e</sub>	f <sub>min</sub>	f <sub>max</sub>	a <sub>p min</sub>	a <sub>p max</sub>
		LNGU 160708SR-M	M9315	■	■	■	■	■	■	●	---	0,8	0,10	0,27	1,0	13,0
			M9325	■	■	■	■	■	■	✘	---	0,8	0,10	0,27	1,0	13,0
			M8340	■	■	■	■	■	■	✘	+/-	0,8	0,10	0,30	1,0	13,0
			8215	■	■	■	■	■	■	✘	-	0,8	0,10	0,30	1,0	13,0
			8230	■	■	■	■	■	■	✘	-	0,8	0,10	0,30	1,0	13,0

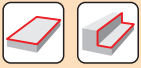
## LNGU 16-FA

	d	d <sub>1</sub>	l	s
1607	13,200	5,70	16,60	7,50



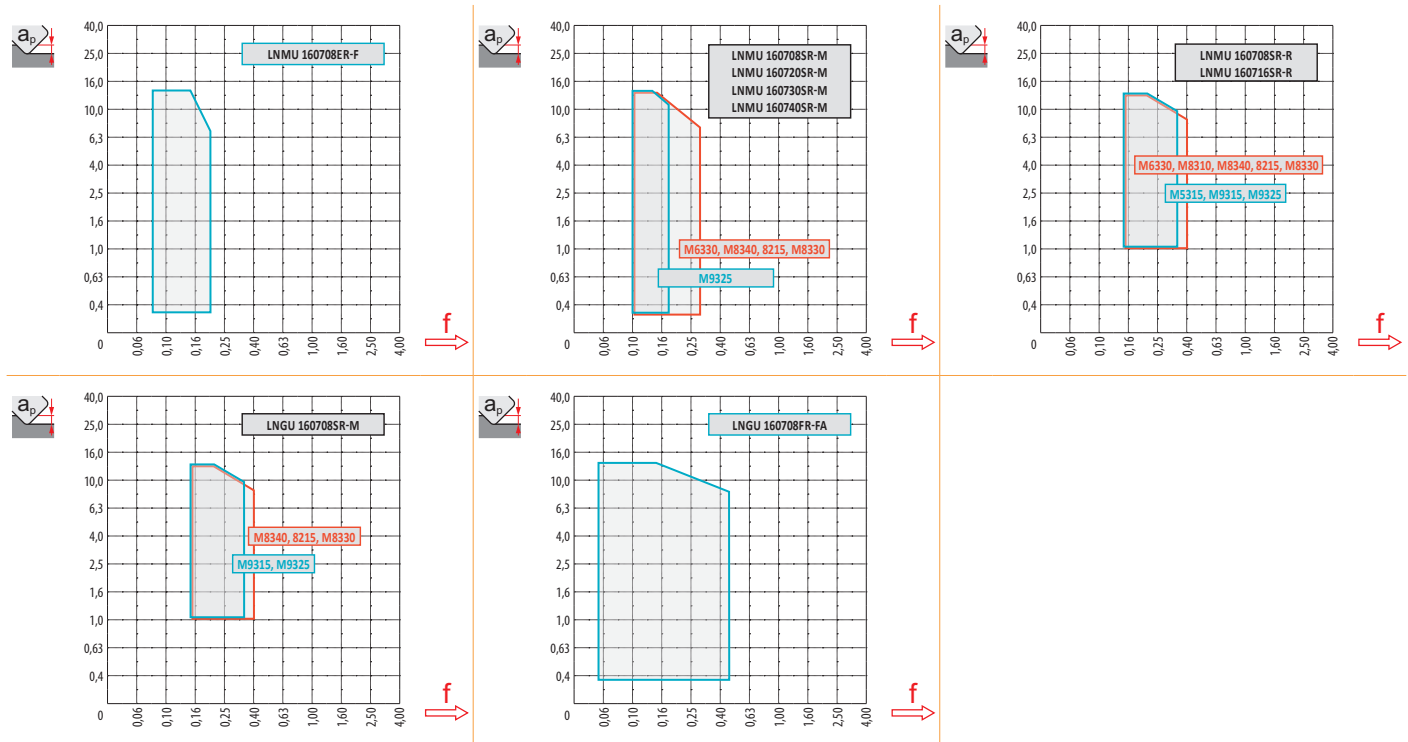
		ISO		P	M	K	N	S	H			r <sub>e</sub>	f <sub>min</sub>	f <sub>max</sub>	a <sub>p min</sub>	a <sub>p max</sub>
		LNGU 160708FR-FA	HF7	□	□	■	□	□	□	●	+/-	0,8	0,05	0,45	0,3	13,0

ISO	f <sub>min</sub>	f <sub>max</sub>	M5315	M9315	M9325	M6330	M8310	M8330	M8340	8215	8230	HF7	
P	●	0,10	0,25	326	326	289	221	274	260	236	259	248	-
	●	0,10	0,20	304	296	255	199	248	232	210	229	221	-
	✘	0,10	0,15	278	270	225	173	221	201	184	203	191	-
K	●	0,10	0,25	311	311	-	-	259	248	225	244	236	98
	●	0,10	0,20	289	281	-	-	236	221	199	218	210	86
	✘	0,10	0,15	266	255	-	-	210	193	173	191	184	75
N	●	0,10	0,25	-	-	-	-	-	654	-	645	623	255
	●	0,10	0,20	-	-	-	-	-	583	-	578	555	229
	✘	0,10	0,15	-	-	-	-	-	508	-	510	484	199
H	●	0,10	0,20	64	64	-	-	53	49	-	49	49	19
	●	0,10	0,15	60	56	-	-	49	41	-	45	41	15
	✘	0,10	0,12	53	53	-	-	41	38	-	38	38	15

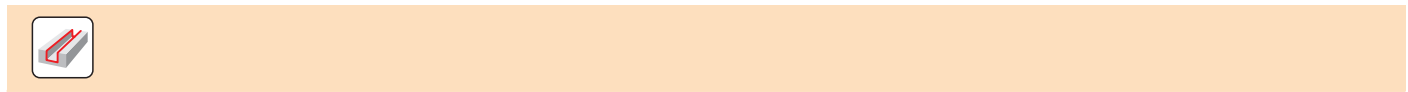


$\frac{a_p}{D}$	0,05	0,10	0,15	0,20	0,25	0,30	0,40	0,50	0,60	0,70	0,75	0,80	0,90	1,00
X.V	1,48	1,35	1,27	1,22	1,19	1,16	1,11	1,08	1,05	1,03	1,00	1,00	1,00	1,00
X.f	2,87	2,05	1,69	1,48	1,33	1,23	1,09	0,75	0,94	0,90	0,89	0,88	0,88	1,00
X.f	0,64	0,64	0,64	0,64	0,64	0,65	0,65	0,67	0,68	0,71	0,72	0,74	0,79	1,00

$r_e$	LNMU 16-F	LNMU 16-M					LNMU 16-R		LNGU 16-FA
$r_e$	0,8	0,8	2,0	3,0	4,0	0,8	1,6	0,8	
$a$	3,30	3,30	2,11	1,12	0,10	3,30	2,50	3,30	



max  
7,0



$a_p$	1,0	6,0	13,0
i	0,31	0,24	0,13